

# **Commande de robots mobiles non-holomomes**

## **Partie I: Suivi de chemin**

P. MORIN

ISIR

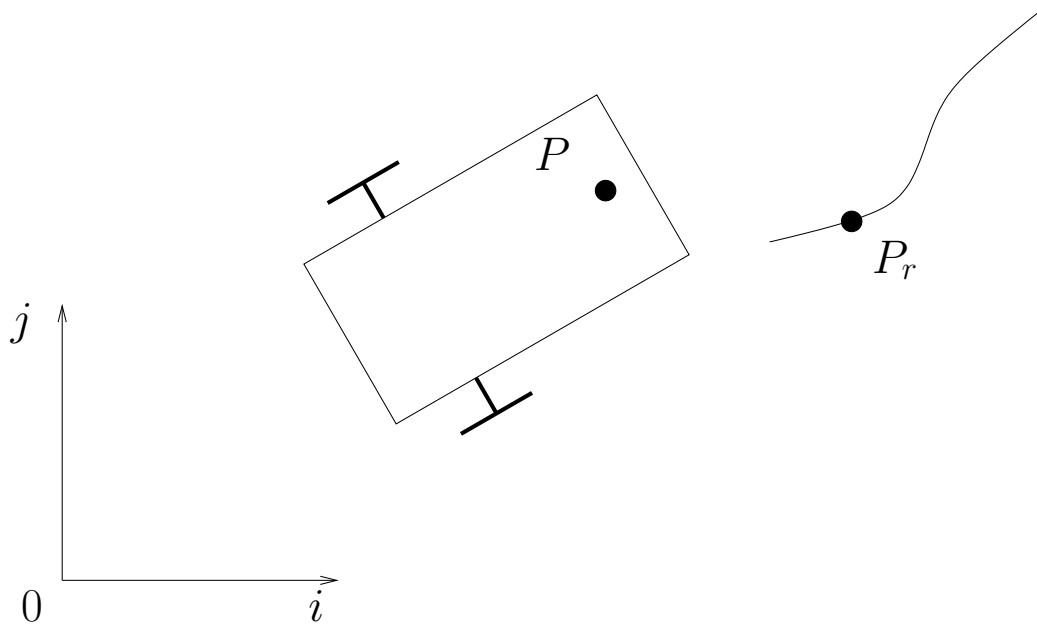
Sorbonne Université

# Plan

- Les principaux problèmes de commande de robots mobiles
- Le problème de suivi de chemin

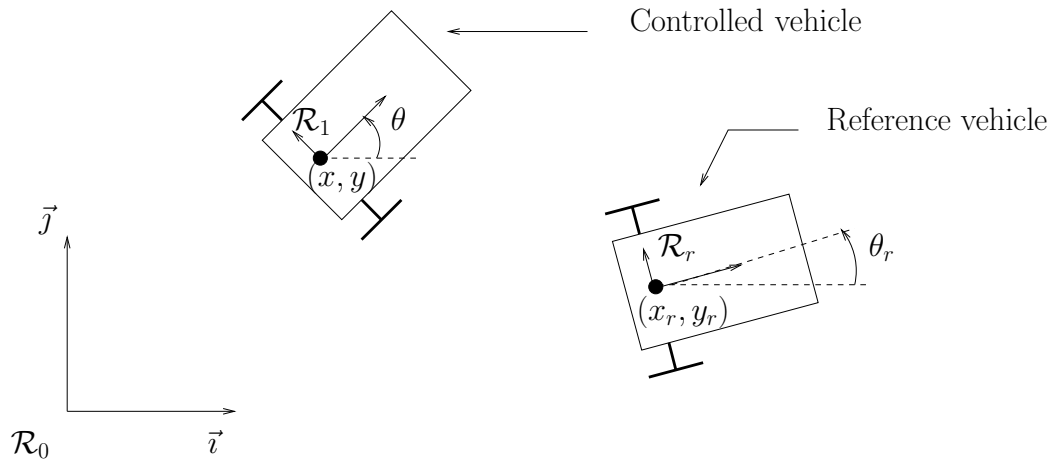
# Stabilisation de la position

- On se donne une trajectoire de référence en position  $(x_r(t), y_r(t))$  associée à un point de référence  $P_r$
- On se donne un point de contrôle sur le véhicule
- On souhaite stabiliser asymptotiquement le point de contrôle vers la trajectoire de référence



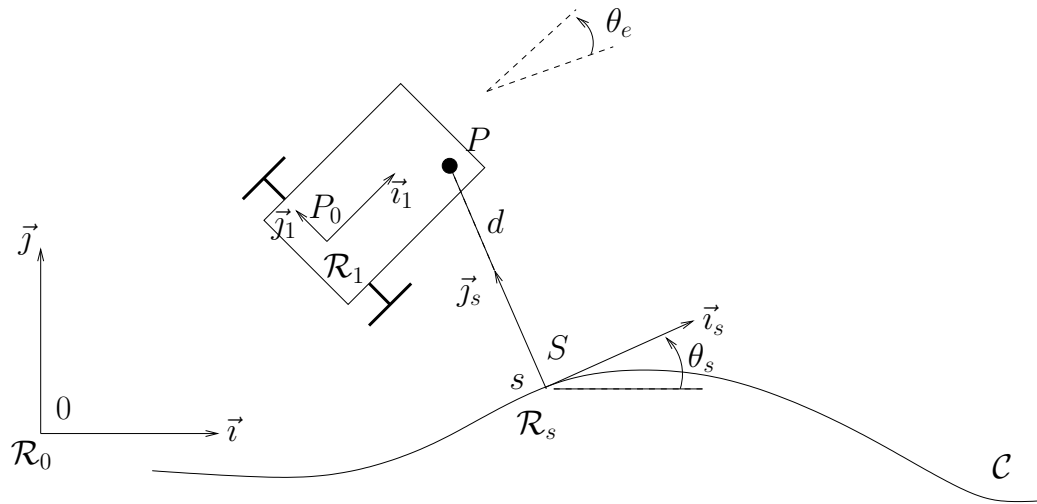
# Stabilisation de la position et de l'orientation

- On se donne une trajectoire de référence en position/orientation  $(x_r(t), y_r(t), \theta_r)$  associée à un véhicule de référence
- On se donne un repère de contrôle sur le véhicule
- On souhaite stabiliser asymptotiquement le repère de contrôle vers la trajectoire de référence



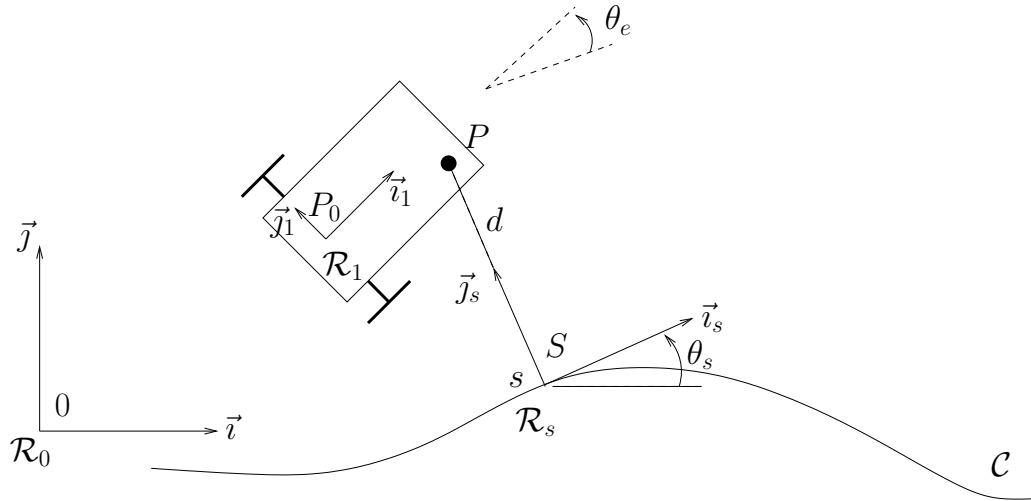
# Suivi de chemin

- On se donne une courbe  $\mathcal{C}$  du plan
- On se donne une vitesse du véhicule, et un point de contrôle  $P$  sur le véhicule
- On souhaite faire converger le point  $P$  vers la courbe



# Suivi de chemin

- On utilise un **repère de Frénet** attaché à  $\mathcal{C}$



- On obtient, avec  $\overrightarrow{P_0P} = \ell_1 \vec{i}_1 + \ell_2 \vec{j}_1$ ,

$$\begin{cases} \dot{s} &= \frac{1}{1 - dc(s)} [(u_1 - l_2 \dot{\theta}) \cos \theta_e - l_1 \dot{\theta} \sin \theta_e] \\ \dot{d} &= (u_1 - l_2 \dot{\theta}) \sin \theta_e + l_1 \dot{\theta} \cos \theta_e \\ \dot{\theta}_e &= \dot{\theta} - \dot{s} c(s) \end{cases}$$

- Unicycle:**  $\dot{\theta} = u_2$
- Voiture:**  $\dot{\theta} = \frac{u_1}{L} \tan \varphi$  et  $\dot{\varphi} = u_2$

# Suivi de chemin avec contrôle en position seulement

Unicycle:

$$\dot{d} = u_1 \sin \theta_e + u_2(-\ell_2 \sin \theta_e + \ell_1 \cos \theta_e)$$

● On pose  $\ell_2 = 0$ ,  $\ell_1 u_1 \geq 0$  et

$$u_2 = -\frac{u_1 \tan \theta_e}{\ell_1} - k u_1 d \quad (k > 0)$$

● Alors

$$\dot{d} = -k(\ell_1 u_1 \cos \theta_e) d$$

● **Convergence:**  $d \longrightarrow 0$  qd.  $t \longrightarrow +\infty$  si

$$\int_0^t \ell_1 u_1(s) ds \longrightarrow +\infty \quad \text{as} \quad t \longrightarrow +\infty$$

et

$$\theta_e(0) \in \left(-\frac{\pi}{2}, \frac{\pi}{2}\right) \quad \text{et} \quad \frac{\ell_1 \max c(s)}{1 - |d(0)| \max c(s)} < 1$$

# Suivi de chemin avec contrôle en position seulement

## Autres lois de commande:

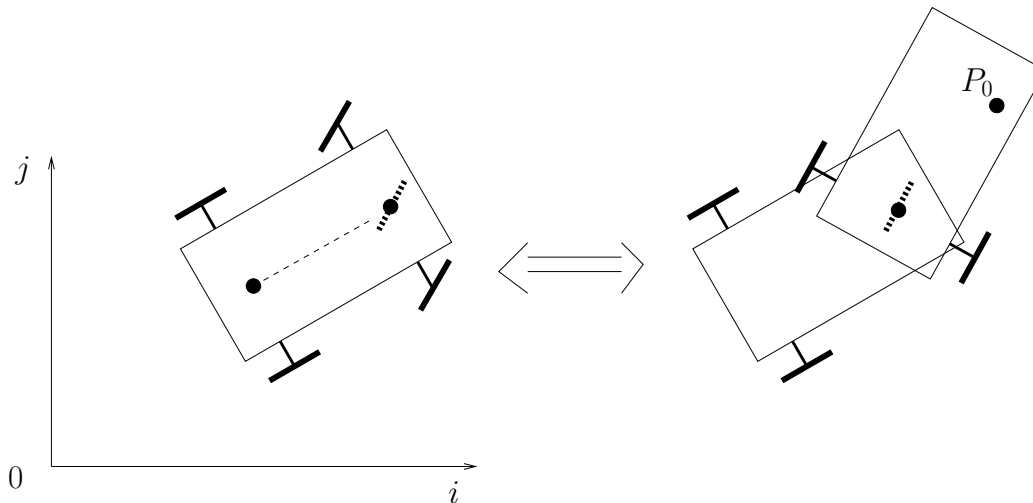
- Une loi **très simple**, mais avec une cv. **locale** et une hypothèse de **courbure petites**  $c(s)$ , qui assure seulement que  $d$  est **ultimement petit** (pas de garantie de cv. vers 0)

$$u_2 = -ku_1d \quad (k > 0)$$

- Extension: **PI**:

$$u_2 = -k_1u_1d - k_0u_1I_d \quad (k_1, k_0 > 0) \quad \text{with} \quad \dot{I}_d = \ell_1u_1d$$

- Voiture?** La même approche fonctionne pour  $u_1$  **Positive** seulement





# Suivi de chemin avec contrôle en position/orientation

**Unicycle:** On pose  $P = P_0$ , i.e.  $\ell_1 = \ell_2 = 0$

● Alors,

$$\begin{cases} \dot{d} &= u_1 \sin \theta_e \\ \dot{\theta}_e &= u_2 - \frac{u_1 c(s)}{1 - dc(s)} \cos \theta_e \end{cases}$$

● Posons

$$u_2 = \frac{u_1 c(s)}{1 - dc(s)} \cos \theta_e - k_1 u_1 d \cos^3 \theta_e - k_2 |u_1| \sin \theta_e \quad (k_1, k_2 > 0)$$

● La fonction  $V = \frac{1}{2}(k_1 d^2 + \tan^2 \theta_e)$  satisfait

$$\dot{V} = -k_2 |u_1| \frac{\sin^2 \theta_e}{\cos^3 \theta_e}$$

● Convergence:  $d$  &  $\theta_e \longrightarrow 0$  qd.  $t \longrightarrow +\infty$  si

●  $u_1, \dot{u}_1$ , et  $c(s)$  sont bornés, et  $u_1 \not\rightarrow 0$  qd.  $t \longrightarrow +\infty$

●  $\theta_e(0) \in (-\pi/2, \pi/2)$

●  $\sqrt{2V(0)/k_1} < 1/\max c(s)$  de sorte que  $|d(t)c(s(t))| < 1$  pour tout  $t$

# Suivi de chemin avec contrôle en position/orientation

## ● Autres lois de commande:

- Une loi **très simple**, mais avec une cv. **locale** et une hypothèse de **courbure petites**  $c(s)$ , qui assure seulement que  $d$  est **ultimement petit** (pas de garantie de cv. vers 0)

$$u_2 = -k_1 u_1 d - k_2 |u_1| \theta_e \quad (k_1, k_2 > 0)$$

- Extension: **PID**:

$$u_2 = -k_1 u_1 d - k_2 |u_1| \theta_e - k_0 |u_1| I_d \quad \text{with} \quad \dot{I}_d = u_1 d$$

**Attention!** système du 3ème ordre  $\implies k_i > 0$  n'est pas une condition suffisante de stabilité

# Suivi de chemin avec contrôle en position/orientation

## Problématiques d'estimation

- Très souvent, on ne mesure pas toutes les variables nécessaires à l'implémentation de la commande
- Il faut alors les estimer
- Exemple: On ne mesure que  $d$ , comment estimer  $\theta_e$ ???

Une solution simple basée sur le linéarisé:

$$\begin{cases} \dot{d} &= u_1 \theta_e \\ \dot{\theta}_e &= u_2 - u_1 c(s) \end{cases}$$

Solution 1: hypothèse de courbure nulle

$$\begin{cases} \dot{\hat{d}} &= u_1 \hat{\theta}_e - k_1 |u_1| (\hat{d} - d) \\ \dot{\hat{\theta}}_e &= u_2 - k_2 u_1 (\hat{d} - d) \end{cases}$$

# Suivi de chemin avec contrôle en position/orientation

## Problématiques d'estimation

● Solution 1: hypothèse de courbure nulle

$$\begin{cases} \dot{\hat{d}} &= u_1 \hat{\theta}_e - k_1 |u_1| (\hat{d} - d) \\ \dot{\hat{\theta}}_e &= u_2 - k_2 u_1 (\hat{d} - d) \end{cases}$$

Analyse de stabilité:

$$\begin{pmatrix} \dot{\tilde{d}} \\ \dot{\tilde{\theta}}_e \end{pmatrix} = |u_1| \begin{pmatrix} -k_1 & 1 \\ -k_2 & 0 \end{pmatrix} \begin{pmatrix} \tilde{d} \\ \tilde{\theta}_e \end{pmatrix}$$

ou fonction de Lyapounov:  $V(\tilde{d}, \tilde{\theta}_e) = k_2 \tilde{d}^2 + \tilde{\theta}_e^2$ .

● Solution 2: hypothèse de courbure constante

$$\begin{cases} \dot{d} &= u_1 \theta_e \\ \dot{\theta}_e &= u_2 - u_1 c(s) \\ \dot{c}(s) &= 0 \end{cases}$$

# Suivi de chemin avec contrôle en position/orientation

**Voiture:** On pose aussi  $P = P_0$ , i.e.  $\ell_1 = \ell_2 = 0$ . Alors,

$$\begin{cases} \dot{d} &= u_1 \sin \theta_e \\ \dot{\theta}_e &= u_1 \frac{\tan \varphi}{L} - \frac{u_1 c(s)}{1-dc(s)} \cos \theta_e \\ \dot{\varphi} &= u_2 \end{cases}$$

● **Etape 1:** Soit  $\xi := \frac{\tan \varphi}{L} - \frac{c(s)}{1-dc(s)} \cos \theta_e$ . Alors,

$$\begin{cases} \dot{d} &= u_1 \sin \theta_e \\ \dot{\theta}_e &= u_1 \xi \\ \dot{\xi} &= \bar{u}_2 \end{cases}$$

avec  $(u_1, u_2) \mapsto (u_1, \bar{u}_2)$  un changement de variables de commande pour  $|\varphi_1| < \pi/2$ .

● **Etape 2:** Soit  $\tilde{\xi} := \xi + k_1 d \cos^3 \theta_e$ . Alors,

$$\begin{cases} \dot{d} &= u_1 \sin \theta_e \\ \dot{\theta}_e &= -u_1 k_1 d \cos^3 \theta_e + u_1 \tilde{\xi} \\ \dot{\tilde{\xi}} &= \bar{v}_2 \end{cases}$$

avec  $(u_1, \bar{u}_2) \mapsto (u_1, v_2)$  un autre chgmt. de variables de commande

# Suivi de chemin avec contrôle en position/orientation

● Etape 3: Soit

$$v_2 = -k_2 u_1 \frac{\sin \theta_e}{\cos^3 \theta_e} - k_3 |u_1| \tilde{\xi}$$

● La fonction  $V = \frac{1}{2}(k_1 k_2 d^2 + k_2 \tan^2 \theta_e + \tilde{\xi}^2)$  satisfait

$$\dot{V} = -k_3 |u_1| \tilde{\xi}^2$$

● Convergence:  $d$  &  $\theta_e \longrightarrow 0$  qd.  $t \longrightarrow +\infty$  si

●  $k_1, k_2, k_3 > 0$

●  $u_1, \dot{u}_1$ , et  $c(s)$  sont bornés, et  $u_1 \not\rightarrow 0$  qd.  $t \longrightarrow +\infty$

●  $\theta_e(0) \in (-\pi/2, \pi/2)$ ,  $\varphi(0) \in (-\pi/2, \pi/2)$

●  $\sqrt{2V(0)/(k_1 k_2)} < 1/\max c(s)$  de sorte que  $|d(t)c(s(t))| < 1$  pour tout  $t$

● **Attention!** Ne pas oublier de ré-exprimer la commande dans les variables de départ. (i.e.  $v_2 \longmapsto u_2$ )